

Министерство высшего и среднего специального образования РСФСР

Горьковский ордена Трудового Красного Знамени  
научно-исследовательский радиофизический институт (НИРФИ)

П р е п р и н т № 222

МНОГОЧАСТОТНЫЙ СПОСОБ ОПРЕДЕЛЕНИЯ ПОЛЯ  
В БЛИЖНЕЙ ЗОНЕ АНТЕННЫ

А.В. Калinin

Г о р' к и й 1986

Калинин А. В.

МНОГОЧАСТОТНЫЙ СПОСОБ ОПРЕДЕЛЕНИЯ ПОЛЯ В БЛИЖНЕЙ ЗОНЕ АНТЕННЫ.  
Горький, Препринт № 222 / НИРФИ , 1986. - 35 с.

УДК 621.396.67

Предложен способ определения поля в ближней зоне антенны с помощью измерений в диапазоне частот и последующего перехода во временнную область. Способ может быть использован для определения характеристик антенн радиоголографическим методом с повышенной точностью, а также для экспериментального определения поля, рассеянного в измерительной установке. Способ реализуется без привлечения специального оборудования на установке, содержащей стандартные приборы ( генератор , амплифазометр ), работающие в диапазоне частот. Приводятся результаты эксперимента, подтверждающие эффективность способа.

Проблема повышения точности антенных измерений при наличии рассеяния поля в установке и на окружающих предметах является довольно сложной и актуальной /1,2/. Существующие способы уменьшения влияния рассеяния предусматривают либо пространственную, либо временную селекцию составляющих измеряемого сигнала. Способы пространственной селекции /3-5/ имеют ограниченную область применения и недостаточную эффективность. Среди способов временной селекции наиболее эффективным является времязимпульсный /8,9/, однако он предусматривает использование нетрадиционной для антенных измерений аппаратуры и поэтому пока не находит широкого применения. Вместе с тем известны методы ослабления влияния рассеяния, в которых временная селекция составляющих сигнала осуществляется за счет измерений в диапазоне частот. В работах /6,7/ приводились результаты определения диаграмм направленности рупорных антенн в дальней зоне, подтверждающие эффективность измерений в диапазоне частот. Однако при этом возможности метода использовались далеко не полностью. В частности, практически не использовалась зависимость фазы измеряемого сигнала от частоты, а также данные о геометрии установки.

Особую актуальность способы уменьшения влияния рассеяния приобретают при измерении характеристик остронаправленных антенн в ближней зоне радиоголографическим методом /1/. Это связано с возможностью значительного искажения поля антенны при расположении сканирующего устройства в "проекторном луче" вблизи раскрыва. В данной работе для повышения точности измерений характеристик антенн радиоголографическим методом, а также для экспериментального определения источников и уровней рассеянного сигнала, предлагается способ измерения пространственной зависимости поля в ближней зоне в диапазоне частот с последующим

переходом во временную область. Способ может быть реализован без привлечения дополнительного оборудования на установке, содержащей стандартные приборы (генератор, амплифазометр), работающие в диапазоне частот. Возможности предлагаемого способа рассматриваются на примере установки для планарного сканирования поля в ближней зоне зеркальной параболической антенны, на которой проводилась экспериментальная апробация.

## I. ФИЗИЧЕСКИЕ ОСНОВЫ ПРЕДЛАГАЕМОГО СПОСОБА

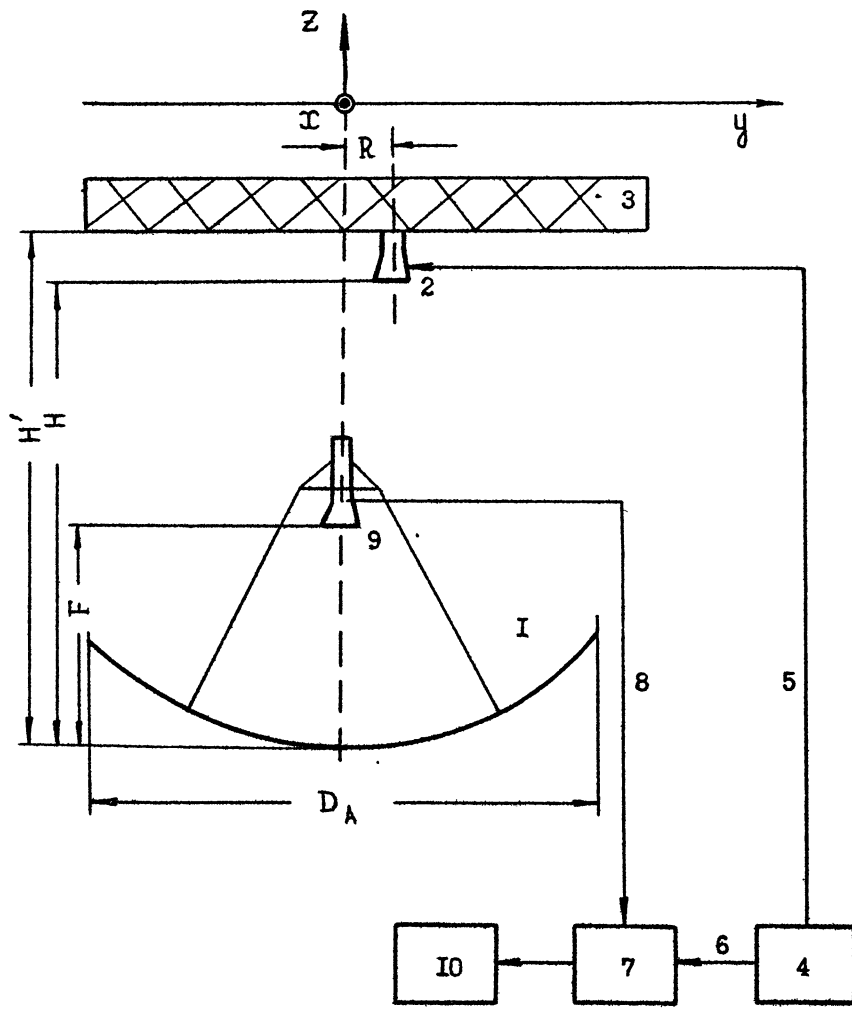
На рис. I показана блок-схема установки для определения характеристик антенн радиоголографическим методом при планарном сканировании поля в ближней зоне /1/. Измерение поля антенны I с облучателем 9 производится с помощью зонда 2, перемещаемого сканирующим устройством 3. На схеме показаны приборы (амплифазометр 7, генератор 4, ЭВМ 10), СВЧ линии передачи измерительного 5 и 8 и опорного 6 трактов, а также обозначены геометрические размеры, существенные для анализа возможностей многочастотного способа.

При излучении сигнала зондом на выходе СВЧ тракта исследуемой антенны (ИА) измеряется сумма составляющих сигнала, распространяющихся различными путями от зонда к облучателю. Сигнал на частоте  $\omega$  может быть соответственно представлен в виде

$$E_{\text{изм}}(\omega) = A(\omega) e^{i\varphi(\omega)} \sum_k a_k(\omega) e^{-i \frac{\omega}{c} r_k}, \quad (I)$$

где  $A(\omega)$ ,  $\varphi(\omega)$  - амплитуда и фаза сигнала на частоте  $\omega$ ,  $a_k(\omega)$  - коэффициент передачи  $k$ -й составляющей,  $r_k$  - разность длин путей распространения  $k$ -й составляющей в измерительном и опорном трактах, включая линии передачи и пути распространения в свободном пространстве.

При этом составляющие сигнала, соответствующие полю ИА, распространяющиеся по пути "зонд - зеркало ИА - облучатель" и по пути "зонд - облучатель" представляют собственно полезный сигнал, а составляющие, появляющиеся за счет рассеяния на элементах установки и окружающих предметах, например распространяющиеся по пути "зонд - зеркало - сканер - зеркало - облучатель", являются по-



P n o. I

мехами. В предлагаемом способе выполняется измерение сигнала на выходе антенно-фидерного тракта ИА в диапазоне частот и преобразование Фурье полученных данных (переход во временнюю область):

$$S(t) = \int E_{\text{изм}}(\omega) e^{i\omega t} d\omega. \quad (2)$$

При этом во временной области происходит разделение составляющих:

$$S(t) = \sum_k S_k \left( t - \frac{r_k}{c} \right) = \sum_k \int A(\omega) a_k(\omega) e^{i(\varphi(\omega) + \omega(t - \frac{r_k}{c}))} d\omega. \quad (3)$$

Составляющие  $S_k(t)$  отличны от нуля лишь в некоторых интервалах времен  $\Delta t_k$ . Например "длительность" полезного сигнала определяется разностью максимального и минимального времени распространения сигнала от зонда к различным участкам раскрытия ИА. Поэтому, если "длительность" сигнала ИА  $\Delta t_{\text{ИА}}$  меньше возможных времен запаздывания помех, происходит разделение полезных составляющих от помеховых. В полученной зависимости  $S(t)$  распознавание составляющих, соответствующих полю ИА, производится с учетом известной геометрии установки. По задержке помеховых составляющих возможна идентификация источников рассеяния.

Определение "истинного" значения поля ИА на частоте  $\omega$  производится путем зануления составляющих  $S_k(t)$ , соответствующих помехам и выполнения обратного преобразования Фурье. Подобным же образом (при занулении компонент, соответствующих полю ИА) может быть получено значение рассеянного сигнала на данной частоте. Проведение указанной процедуры измерения и обработки во всех заданных точках поверхности сканирования позволяет получить истинную пространственную зависимость поля ИА и рассеянного поля на данной частоте. С помощью соответствующей обработки (преобразования Фурье для плоской поверхности сканирования) определяется диаграмма направленности (ДН) ИА с повышенной точностью, либо погрешность, вносимая рассеянием в определение ДН на данной установке традиционным способом.

## 2. ПОЛЕ В БЛИЖНЕЙ ЗОНЕ ЗЕРКАЛЬНОЙ ПАРАБОЛИЧЕСКОЙ АНТЕННЫ, СИНТЕЗИРУЕМОЕ ПРИ ИЗМЕРЕНИЯХ В ДИАПАЗОНЕ ЧАСТОТ

Измерение поля исследуемой антенны в диапазоне частот и выполнение преобразования Фурье полученных данных представляет собой синтез во временной области отклика этой антенны на широкополосный сигнал. Синтезируемый сигнал в ближней зоне зеркальной параболической антенны (см. рис. I) определяется в виде

$$S(t) = \int_{\omega_n}^{\omega_b} e^{i\omega t} \int_0^{2\pi} \int_0^r a(\omega, p) \frac{1}{r_1 r_2} e^{-i\frac{\omega}{c}(r_1 + r_2)} \sqrt{1 + \frac{p^2}{4F^2}} p dp d\varphi d\omega, \quad (4)$$

где  $r_1 = F + p^2/4F$ ,  $r_2^2 = (H - p^2/4F)^2 + p^2 + R^2 - 2Rp \cos(\Phi - \varphi)$ ,  $\omega_n - \omega_b$  - полоса перестройки частоты,  $a(\omega, p)$  - функция, описывающая АХЧ, ОХЧ и ДН облучателя,  $H$  - расстояние от вершины зеркала до плоскости сканирования,  $F$  - фокусное расстояние антенны,  $R, \Phi$  - координаты зонда в плоскости сканирования,  $p, \varphi$  - координаты точки интегрирования на поверхности зеркала. Будем пренебречь изменением направленности облучателя в рабочей полосе частот. Тогда соотношение /4/ можно записать следующим образом:

$$S(t) = \int_0^{\omega_b} \int_0^{2\pi} I\left(t - \frac{r_1 + r_2}{c}\right) \frac{1}{r_1 r_2} a_1(p) \sqrt{1 + \frac{p^2}{4F^2}} p dp d\varphi, \quad (5)$$

где  $I(t) = \int_{\omega_n}^{\omega_b} a_2(\omega) e^{i\omega t} d\omega$  - синтезируемый при измерениях импульс, которым "возбуждается" ИА,  $a_1(p)$  - характеристика направленности облучателя (предполагается осесимметричной),  $a_2(\omega)$  - частотная характеристика антенно-фидерного тракта установки, в котором, как правило, наиболее узкую полосу имеет облучатель ИА. Поэтому в дальнейшем под  $a_2(\omega)$  будем иметь виду ЧХ облучателя.

Введём импульсную переходную характеристику МПХ/ исследуемой антенны в виде

$$h(t) = \int_0^{\omega_b} \int_0^{2\pi} \delta\left(t - \frac{r_1 + r_2}{c}\right) \frac{1}{r_1 r_2} a_1(p) \sqrt{1 + p^2/4F^2} p dp d\varphi. \quad (6)$$

Необходимо заметить, что, хотя приближение физической оптики, в

котором записано /4/, справедливо для  $\lambda \ll A$ , мы вводим формальную ИДХ ИА в виде /6/, т.к. синтезируемый импульс  $I(t)$  не содержит нулевых частот.

Сигнал в ближней зоне антенны  $S(t)$  представляет собой свертку временной зависимости синтезированного импульса  $I(t)$  с ИДХ антенны  $h(t)$ .

Анализ соотношения /6/ показывает, что область изменения переменной  $Ct$ , в которой сигнал  $h(t)$  отличен от нуля, определяется условиями

$$F + H < Ct < F + \frac{A^2}{4F} + \sqrt{\left(H - \frac{A^2}{4F}\right)^2 + (A+R)^2}, \text{ при } R < A, \quad (7)$$

$$F + \frac{A^2}{4F} + \sqrt{\left(H - \frac{A^2}{4F}\right)^2 + (R-A)^2} < Ct < F + \frac{A^2}{4F} + \sqrt{\left(H - \frac{A^2}{4F}\right)^2 + (R+A)^2} \text{ при } R > A.$$

Для точки наблюдения, смещенной от оси ( $R \neq 0$ ), ИДХ  $h(t)$  находится путем численного счета на ЭВМ при заданной диаграмме облучения  $a_1(p)$ .

При  $R = 0$   $h(t)$  может быть представлена в явном виде:

$$h(t)_{R=0} = 4\pi C \left[ a_1(z_0) / \sqrt{1+z_0/F} \right] \left[ 1 / (2F + z_0 - H + \sqrt{(H-z_0)^2 + 4z_0 F}) \right], \quad (8)$$

где  $z_0 = \frac{p_0^2}{4\pi} = \frac{(Ct - H - F)(Ct + H - F)}{2(Ct - H + F)}$ .

Были рассчитаны временные зависимости ИДХ зеркальной параболической антенны  $h(t)$ , синтезируемого импульса  $I(t)$  и поля антенны  $S(t)$ . При расчетах частотная характеристика облучателя задавалась в виде ЧХ эквивалентного  $RCL$ -контура:

$$a_1(\omega) = \frac{-2i\omega\Omega}{\omega_0^2 - \omega^2 - 2i\omega\Omega},$$

где  $\omega_0$  – центральная частота настройки облучателя,  $\Omega$  – ширина полосы частот облучателя по уровню половинной мощности.

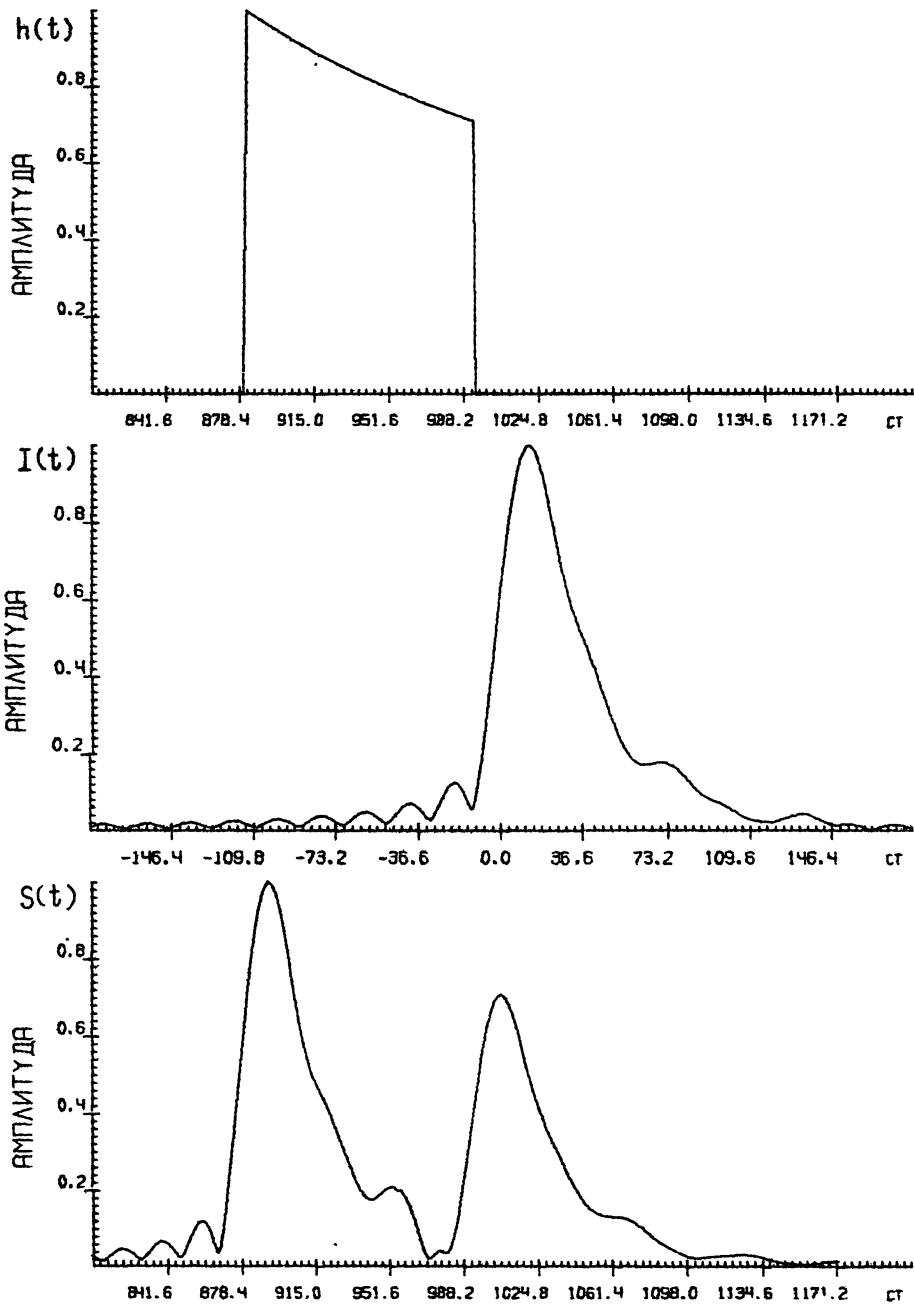


Рис. 2

РАСТОЯНИЕ (СМ)

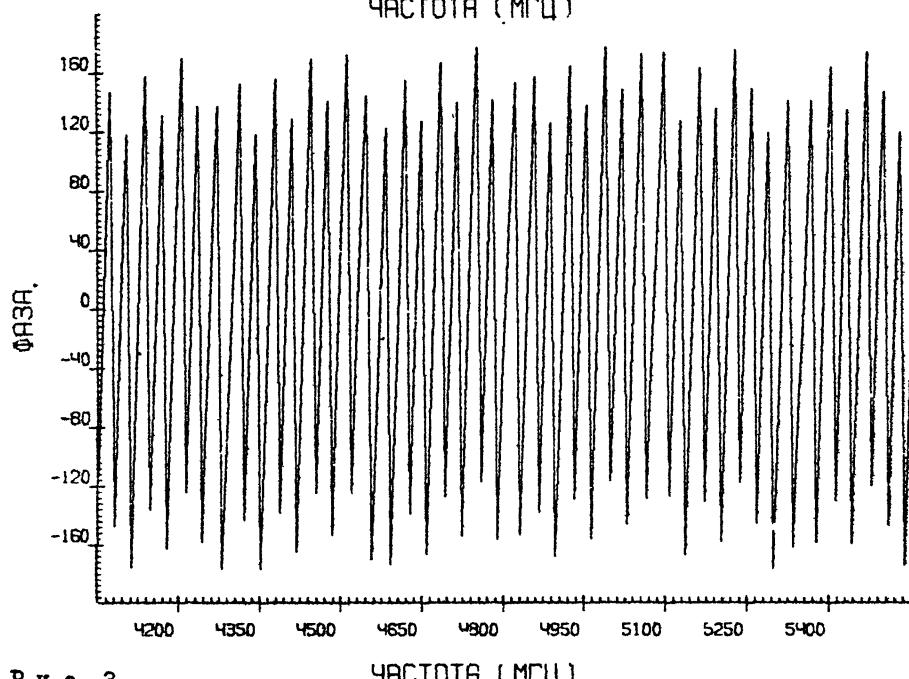
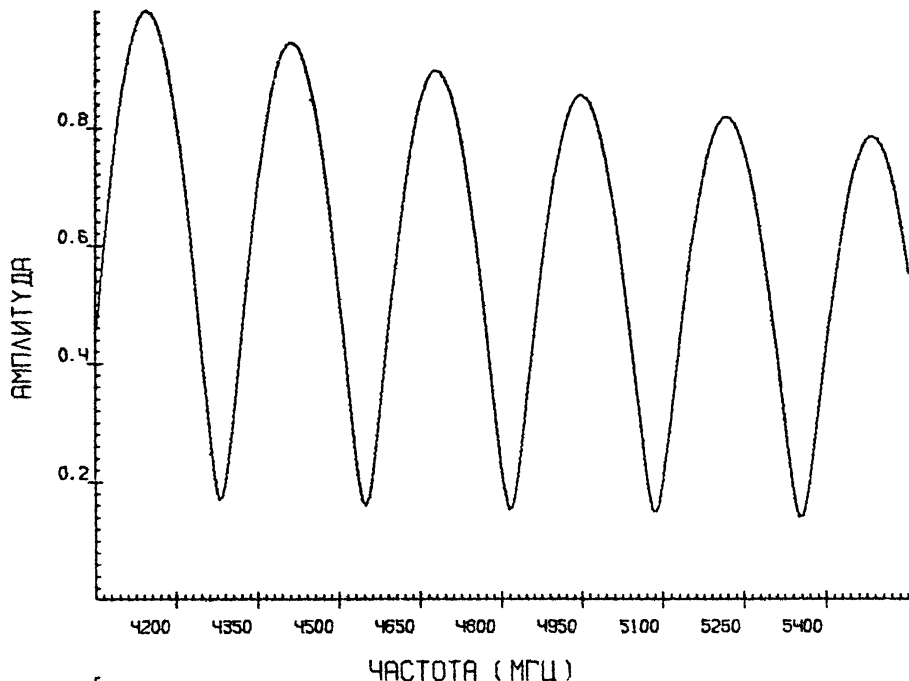


Рис. 3

ЧАСТОТА (МГц)

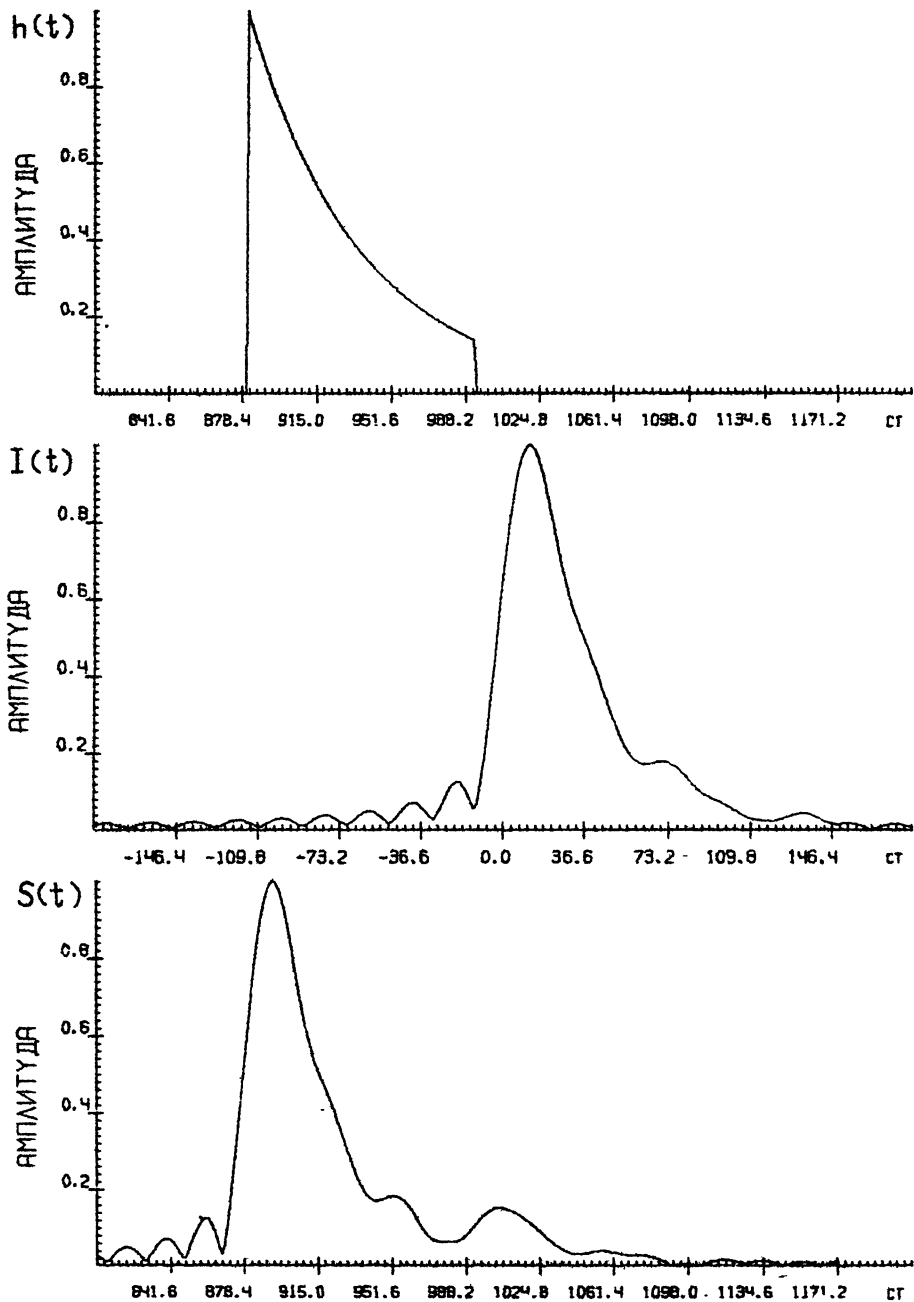


Рис. 4

РАСТОЯНИЕ (СМ)

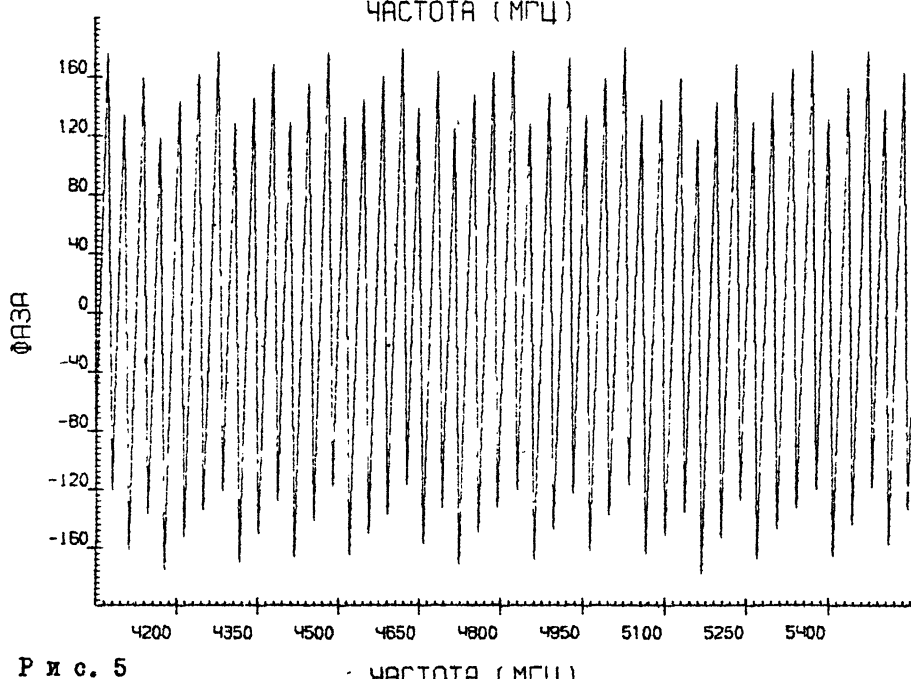
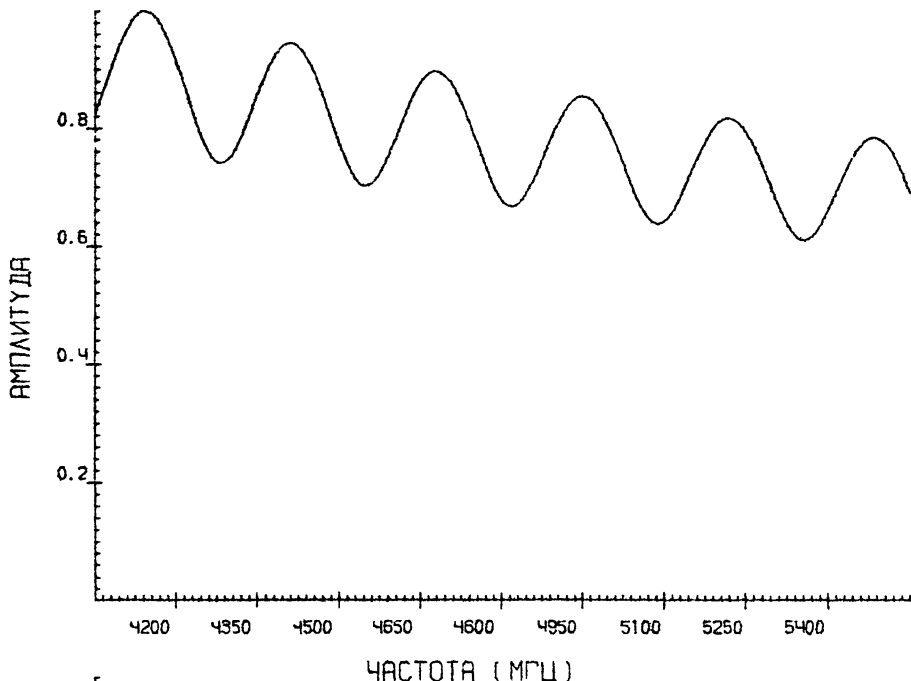
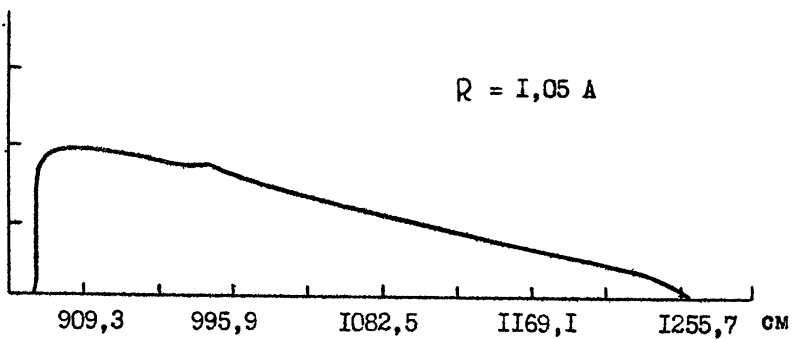
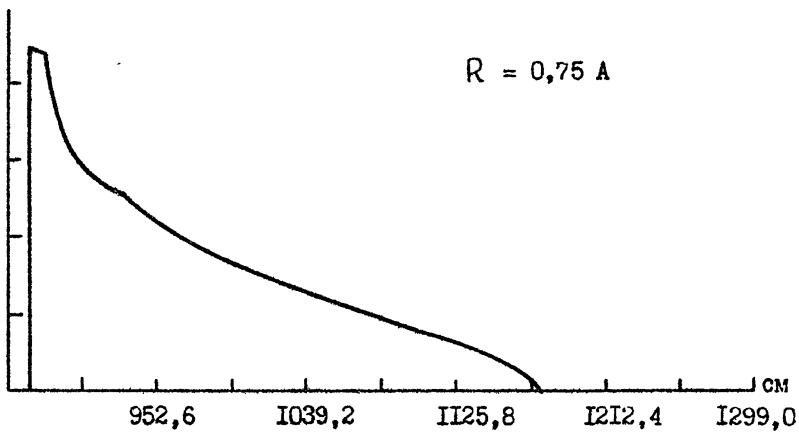
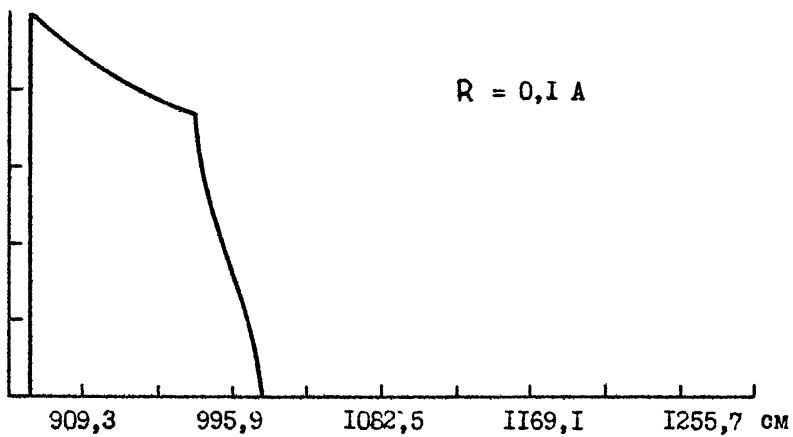


Рис. 5

Частота (МГц)



Р и с. 6

Для удобства сравнения результатов вычислений с экспериментальными данными параметры принимались равными

$$H = 5,9 \text{ м}, F = 2,8 \text{ м}, D = 2A = 7 \text{ м}, \omega_0 = 2\pi \cdot 5 \cdot 10^9,$$

$$\Omega / \omega_0 = 0,03, \omega_H = 2\pi \cdot 4,004 \cdot 10^9, \omega_B = 2\pi \cdot 5,534 \cdot 10^9.$$

Результаты расчетов приведены на рис. 2-6. На рис. 2 показаны временные зависимости сигналов при  $R = 0$  и равномерном облучении зеркала  $a_1(p) = I$ ; на рис. 3 соответствующий спектр ИПХ. На рис. 4 и 5 представлены те же характеристики для облучения, спадающего пропорционально  $\cos^2 \theta$  до уровня  $\sim 0,2$  на краю зеркала. На рис. 6 изображены ИПХ для координат точки наблюдения:  $R = 0,1 \text{ А}$ ,  $R = 0,75 \text{ А}$ ,  $R = 1,05 \text{ А}$ .

Приведенные результаты позволяют сделать следующие выводы:

- сигнал в ближней зоне зеркальной параболической антенны, синтезируемый при многочастотных измерениях, сосредоточен, в основном, во временной области, границы которой определяются соотношением (7),

- временная зависимость сигнала антенны в ближней зоне имеет два максимума в случае синтеза достаточно короткого импульса (при широкой полосе перестройки частоты), причем амплитуда второго максимума зависит от уровня облучения края зеркала ИА,

- частотная зависимость сигнала в ближней зоне может существенно отличаться от ЧХ антенно-фидерного тракта установки, особенно при высоком уровне облучения края зеркала.

Кроме того можно отметить, что временной интервал, в котором сигнал антенны отличен от нуля, может быть смещен относительно области ненулевых значений ИПХ антенны в зависимости от характера ФХЧ облучателя в рабочем диапазоне частот. Это обстоятельство необходимо учитывать при измерениях.

### 3. ОПИСАНИЕ УСТАНОВКИ. МЕТОДИЧЕСКИЕ ОСОБЕННОСТИ МНОГОЧАСТОТНЫХ ИЗМЕРЕНИЙ

На рис. 7 показан внешний вид стенда НИРФИ для измерения параметров антенн /I0/. Сканирование поля в ближней зоне зеркальной параболической антенны осуществляется с помощью устройства /II/, перемещающего зонд по линии, проходящей над центром апертуры. На

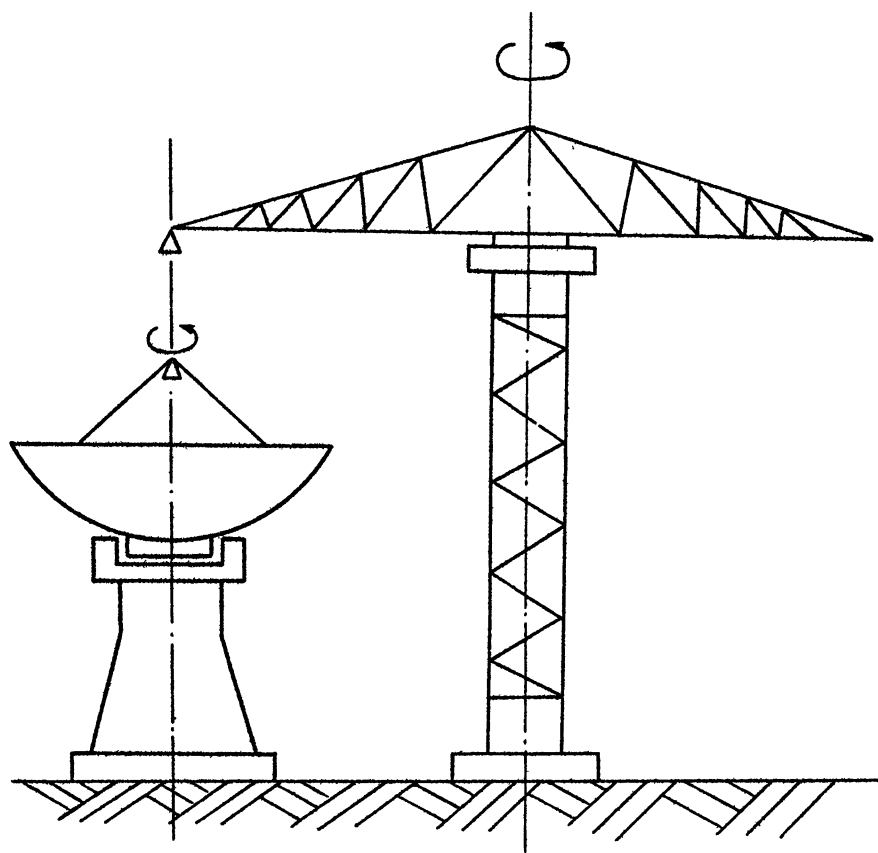


Рис. 7

стенде используются генератор типа Г4-81 (работающий в режиме синхронизации частоты) и амплитудометр ФК 2-24, имеющие перекрывающийся диапазон рабочих частот 4,0+5,6 ГГц. Управление измерениями и обработку данных производит мини ЭВМ ТУ-901А. Геометрические размеры установки в обозначениях, показанных на рис. I, составляют:  $F = 2,8 \text{ м}$ ,  $D = 7 \text{ м}$ ,  $H' = 6,5 \text{ м}$ ,  $H = 5,9 \text{ м}$ .

На стенде НИРДИ проводилось определение многочастотным способом пространственной зависимости поля ИА и рассеянного поля. Учитывая осевую симметрию установки, измерялось распределение сигналов по координате  $R$  вдоль радиуса апертуры при фиксированном положении антенны. Измерения проводились как при укрытии части стрелы сканера вблизи зонда радиопоглощающим материалом (РПМ), так и при отсутствии РПМ на стреле.

Измерения проводились последовательно на ряде частот  $f_n = f_n + \Delta f n$ ,  $n = 0, 1, \dots, N-1$ , после чего с помощью дискретного преобразования Фурье вычислялся сигнал  $S(t)$  в моменты времени  $t_m = \Delta t m$ ,  $m = 0, 1, \dots, N-1$ . Число частот  $N$  и дискрет перестройки  $\Delta f$  выбирались, исходя из следующих соображений.

При неизменном значении коэффициента передачи СВЧ тракта установки в диапазоне перестройки частоты  $f_n - f_b$  разрешающая способность по времени составляет  $\Delta t_{min} \sim (f_n - f_b)^{-1}$ . При широкой полосе перестройки частоты реально достижимое разрешение ограничено, как правило, полосой пропускания тракта установки и облучателя ИА. Показанный на рис. 2 результат позволяет оценить достижимое разрешение по времени величиной  $\Delta t_{min} \sim 1,3+1,7 \text{ нс}$  для стенда НИРДИ, что соответствует расстоянию  $\Delta ct \sim 40+50 \text{ см}$ . Разность хода сигналов, обусловленных переотражением между ИА и сканирующим устройством, и полезного сигнала составляет на стенде не менее 7 м. Полезный же сигнал, принятый от различных участков раскрыва, сосредоточен во временном интервале, длительность которого определяется соотношением  $/7/$  и составляет от 3,3 до 10 нс ( $ct$  от 1 м до 3 м) для различных значений координат зонда  $R$  (при  $R < A$ ). Следовательно, на данной установке возможно разделение полезных и помеховых составляющих измеряемого сигнала при перестройке частоты в полосе шириной  $\sim 0,3+1,5 \text{ ГГц}$ .

Дискретность перестройки частоты ограничивает длительность временного интервала, в котором восстанавливаются значения  $S(t)$ , величиной  $t_{max} = 1/\Delta f$ . При этом в силу свойства периодичности дис-

ретного преобразования Фурье возможен перенос составляющих сигнала с большими, чем  $t_{\max}$ , задержками в область нулевых задержек. Очевидно, что присутствие в измеряемом сигнале отличных от нуля составляющих с задержками, меньшими, чем разность электрических длин линий передач опорного и измерительного трактов ( $\Delta r_{A,n}$ ), может быть лишь следствием дефектов антенно-фидерного тракта (например, паразитного прохождения части мощности из опорного тракта в измерительный канал амплифазометра), которые, кстати, могут быть непосредственно обнаружены данным способом. В отсутствии подобных особенностей СВЧ тракта условие выбора дискрета перестройки частоты записывается в виде  $\Delta f < C/\Delta K$ , где  $\Delta K$  - максимальная разность хода полезного и помехового сигналов. Для схемы планарных измерений, показанной на рис. I, значение  $\Delta K$  определяется соотношением  $\Delta K = 2l(N + F)$ , где  $l$  - число учитываемых переотражений сигнала, и составляет на стенде НИРФИ около 18,5 м для сигнала, однократно переотраженного между зеркалом и стрелой сканера, или  $\sim 37$  м для дважды переотраженного сигнала. Таким образом, на стенде возможно проведение измерений многочастотным способом с дискретом перестройки частоты порядка  $\Delta f \sim 6 \dots 12$  МГц. Соотношение, определяющее при заданных параметрах  $N$  и  $\Delta f$  интервал значений  $Ct$ , в котором находятся составляющие сигнала, соответствующие полуантенны, имеет вид

$$ct_0 < ct < ct_0 + \Delta R, \quad (9)$$

где  $ct_0 = \Delta r_{\min} - \frac{c}{\Delta f} \text{entire} \left( \frac{\Delta r_{\min}}{c} \Delta f \right)$ ,  $\Delta r_{\min}$  - минимальная разность хода сигнала в опорном и измерительном каналах установки,  $\Delta R$  - максимальная разность хода сигналов, соответствующих полуантенны. Для геометрии измерительной схемы, показанной на рис. I, параметры  $\Delta r_{\min}$  и  $\Delta R$  находятся следующим образом:

$$\Delta r_{\min} = \Delta r_{A,n} + \sqrt{(H-F)^2 + R^2}, \quad (10)$$

$$\Delta R = \sqrt{(H-A^2/4F)^2 + (R+A)^2} + F + A^2/4F - \sqrt{(H-F)^2 + R^2}$$

Соотношения /9/ и /10/ получены аналогично /7/ с учетом возможнос-

ти приема сигнала, излученного зондом, непосредственно через задние лепестки ДН облучателя.

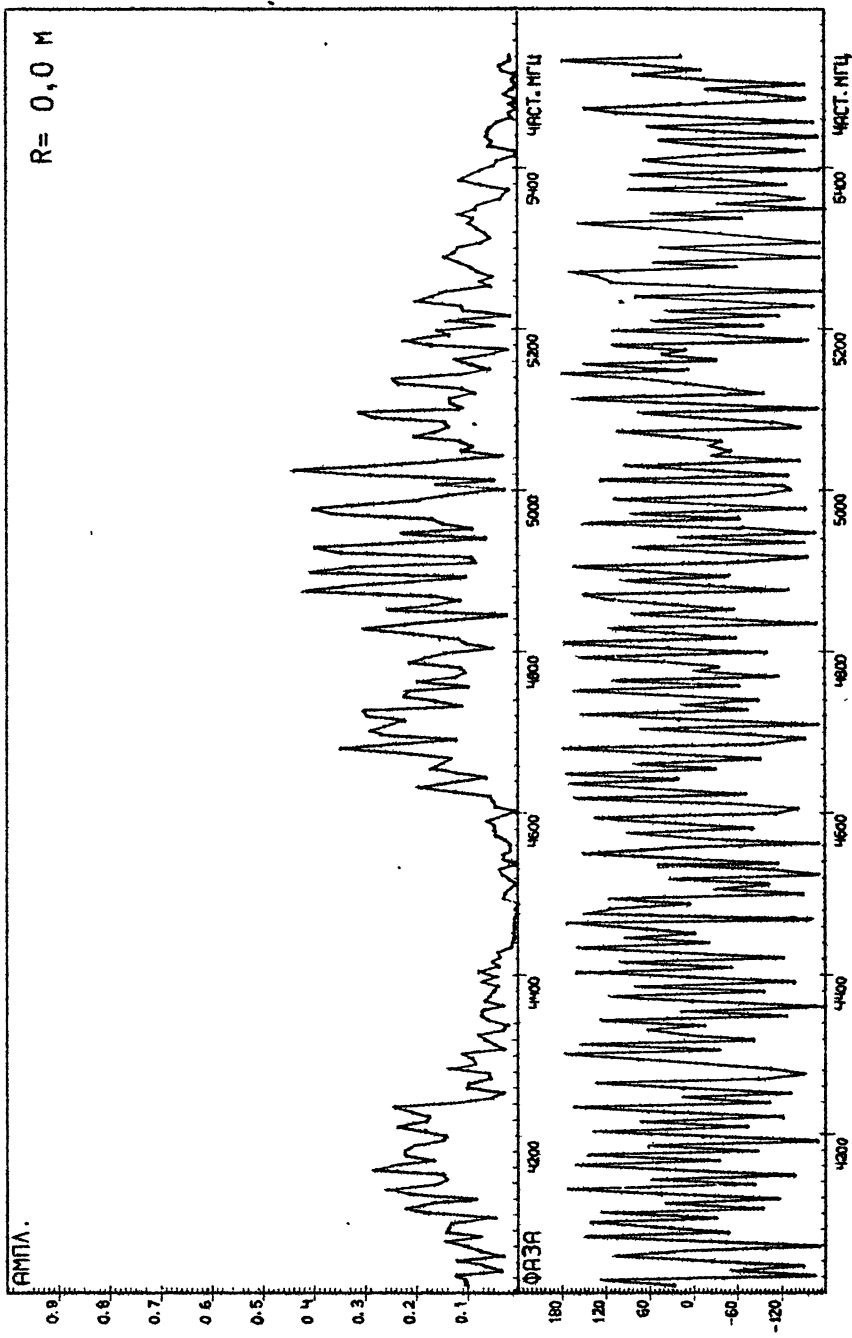
#### 4. РЕЗУЛЬТАТЫ ЭКСПЕРИМЕНТА

На рис. 8 и 9 в виде зависимостей амплитуды и фазы от частоты показаны результаты измерения сигнала в ближней зоне ИА в диапазоне частот 4004-5534 МГц при расположении зонда в точках плоскости сканирования с координатами  $R = 0$  и  $R \approx 1$  метр. Плавное уменьшение амплитуды сигнала на частотах с индексами  $n \sim 60$  обусловлено, по-видимому, провалом в АЧХ тракта стендса. Осцилляции амплитудной зависимости, особенно заметные на рис. 8, объясняются наличием в измеряемом сигнале нескольких составляющих с различными временами распространения. Приведенная частотная зависимость позволяет разумно выбирать значение полосы перестройки частоты при измерениях. В частности, очевидно, что полоса может быть значительно уменьшена (примерно вдвое) без существенного ухудшения разрешающей способности метода во временной области.

На рис. 10-14 показаны результаты синтезирования сигнала ИА во временной области, полученные при различных значениях полосы и дискрета перестройки частоты. На рис. 10 представлена амплитуда дискретного преобразования Фурье данных, измеренных в полосе частот 254 МГц с дискретом  $\Delta f = 2$  МГц. Полученное "абсолютное" распределение составляющих сигнала в интервале задержек  $0 + 500$  нс наглядно демонстрирует сосредоточение всех составляющих в области, длительностью не более 100 нс, что соответствует разности хода 30 метров. Это подтверждает возможность переноса исследуемых составляющих в области малых задержек путем увеличения дискрета перестройки частоты для обеспечения лучшего разрешения по времени.

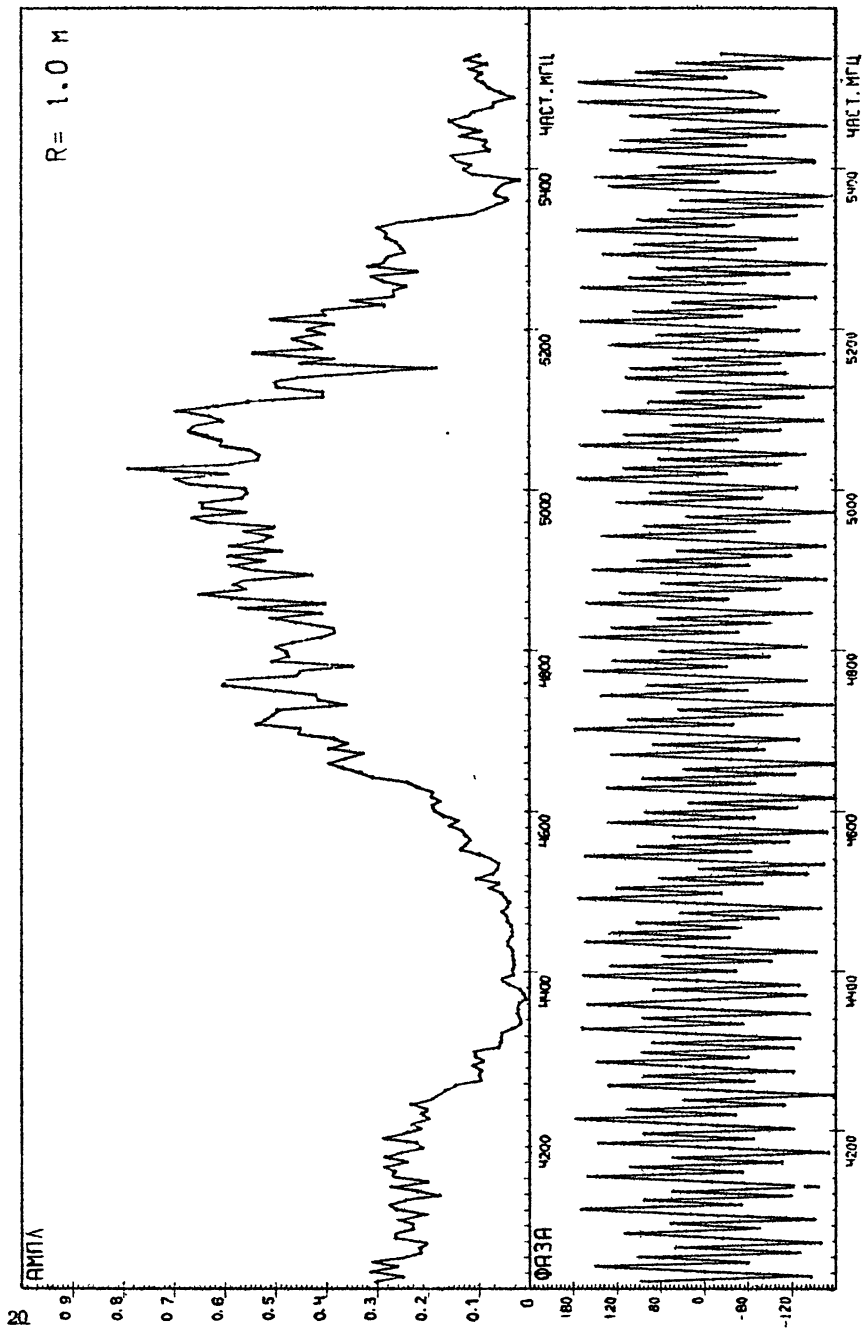
На рис. 11 показана амплитуда сигнала ИА во временной области при положении зонда в центре прожекторного луча ( $R = 0$ ). Зависимость амплитуды синтезированного сигнала от времени при удалении зонда от центра ( $R \sim 1$  м) показана на рис. 12. Результаты, приведенные на рис. 11-12, получены при полосе перестройки частоты около 1,5 ГГц с дискретом  $\Delta f = 6$  МГц. Достигнутое при этом разрешение по времени  $\Delta t_{\min}$  близко к предельному для данной установки и составляет примерно 1,7 нс ( $\Delta(st) \sim 50$  см). На рис. 13 изображена за-

$R = 0,0 \text{ м}$

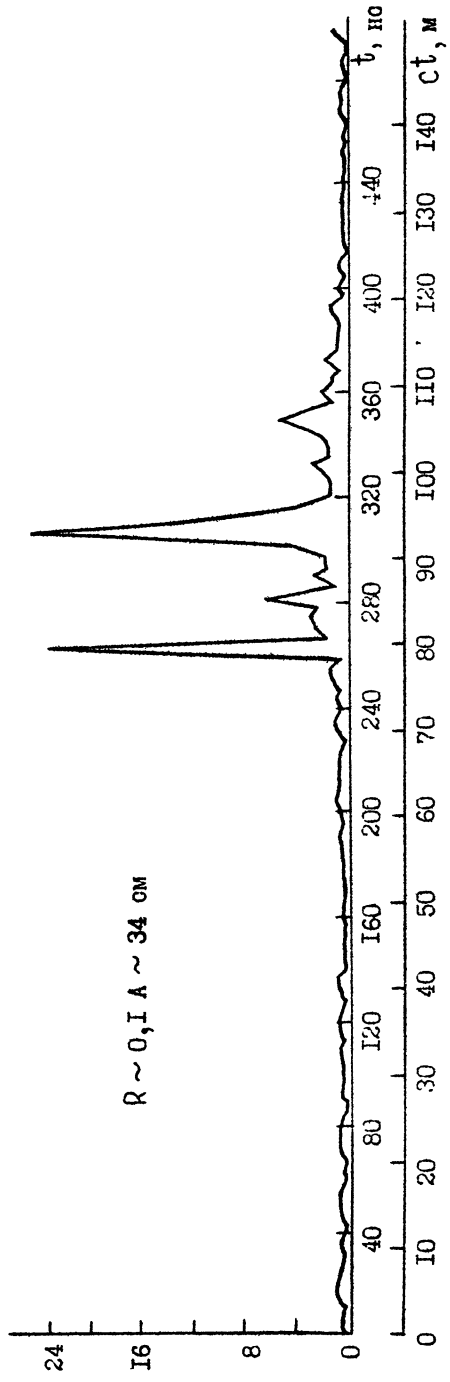


Р и с. 8

Р и о. 9



$A$ , отн. ед.



$R \sim 0, I A \sim 34 \text{ cm}$

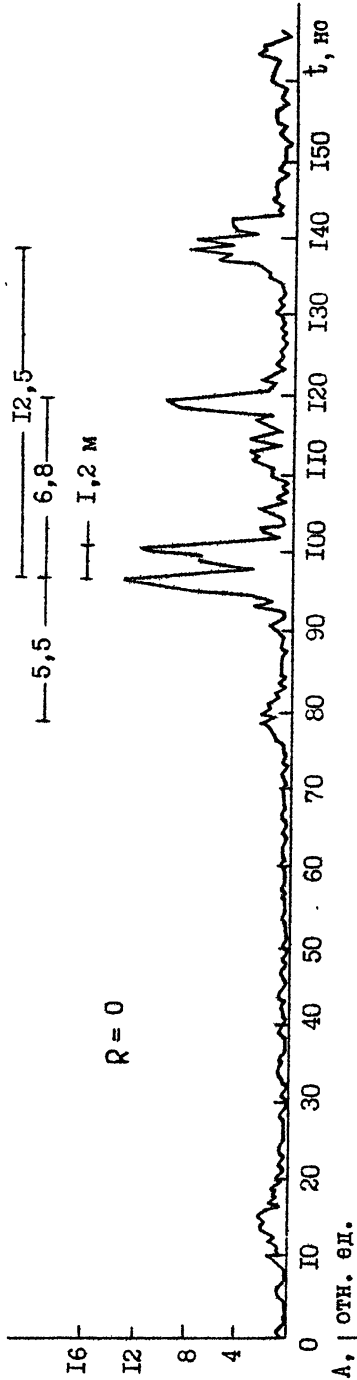
Рис. 10

вистимость амплитуды сигнала от времени для  $N = 128$  и  $\Delta f = 6$  МГц. Сравнив результаты, показанные на рис. I3 и II, можно убедиться, что, несмотря на увеличение дискрета вывода в два раза, все характерные особенности распределения составляющих сигнала во временной области хорошо различимы.

На представленных рисунках видно четкое разделение сигнала во временной области на отдельные составляющие. Согласно соотношению /9/, составляющие, соответствующие полу исследуемой антенны, находятся в интервале задержек  $75 \pm 107$  нс ( $22,5 \text{ м} < ct < 32,2 \text{ м}$ ). В этом интервале на рис. II-I3 выделяются компоненты с задержками от 94 до 101 нс, соответствующие пути распространения "зонд - зеркало ИА - облучатель". Составляющие с задержками  $\sim 78$  нс, обусловленные приемом сигнала от зонда через задние лепестки ИИ облучателя, имеют существенно меньший уровень. Заметное на рисунках раздвоение основной составляющей полезного сигнала согласуется с результатами, полученными в п. 2. Среди помеховых составляющих измеренного сигнала выделяются компоненты с задержками порядка 119, 139, и 13 нс. По запаздыванию помех относительно полезного сигнала были определены источники рассеянных сигналов. Запаздывание компонент с задержками  $\sim 119$  нс соответствует удвоенному времени распространения между плоскостью сканирования и фокусом ИА. Следовательно, эти компоненты обусловлены однократным переотражением сигнала, излученного зондом, между элементами крепления облучателя и стрелой сканера. Аналогично, компоненты с задержками  $\sim 139$  нс идентифицируются, как соответствующие пути распространения "зонд - зеркало - стрела - зеркало - облучатель", а компоненты с задержками  $\sim 13$  нс, как соответствующие сигналу, дважды прошедшему по тому же пути.

На представленных рисунках видно, что основной вклад в измеримый сигнал вносят составляющие, разность хода которых порядка 15-20 метров. В связи с этим были проведены измерения многочастотным способом с полосой перестройки частоты 320 МГц и дискретом  $\Delta f = 20$  МГц и восстановление составляющих сигнала во временном окне 50 нс ( $ct = 15$  м) с дискретом порядка 3 нс. Результат показан на рис. I4 для нескольких значений координат зонда  $R$ . На рисунке видно заметное выделение сигнала, соответствующего полу антенны, который приходится, в данном случае, на компоненту с индексом  $m = 4$ .

A, отн. ед.



$R = 0$

$R = 6,8 \text{ Ом} \approx 0,01 D_A$

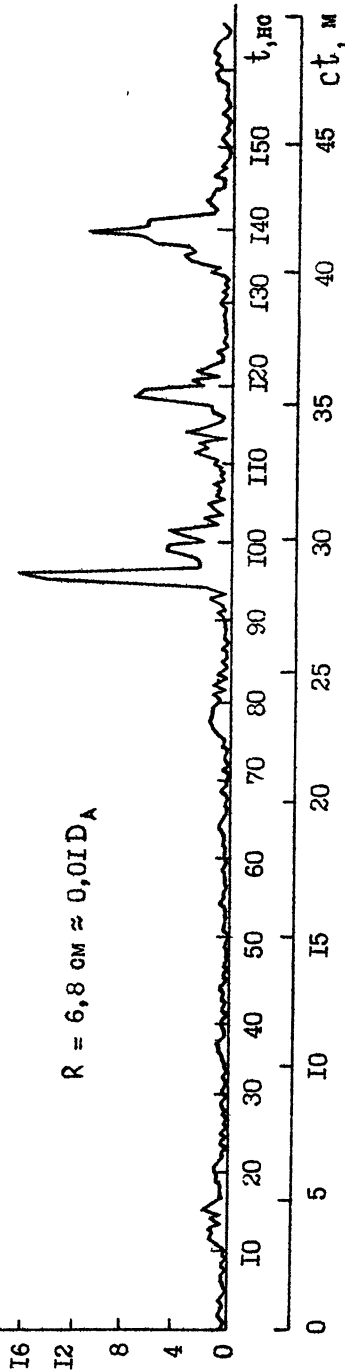


Рис. II

A, отн. ед.

56

48

40

32

24

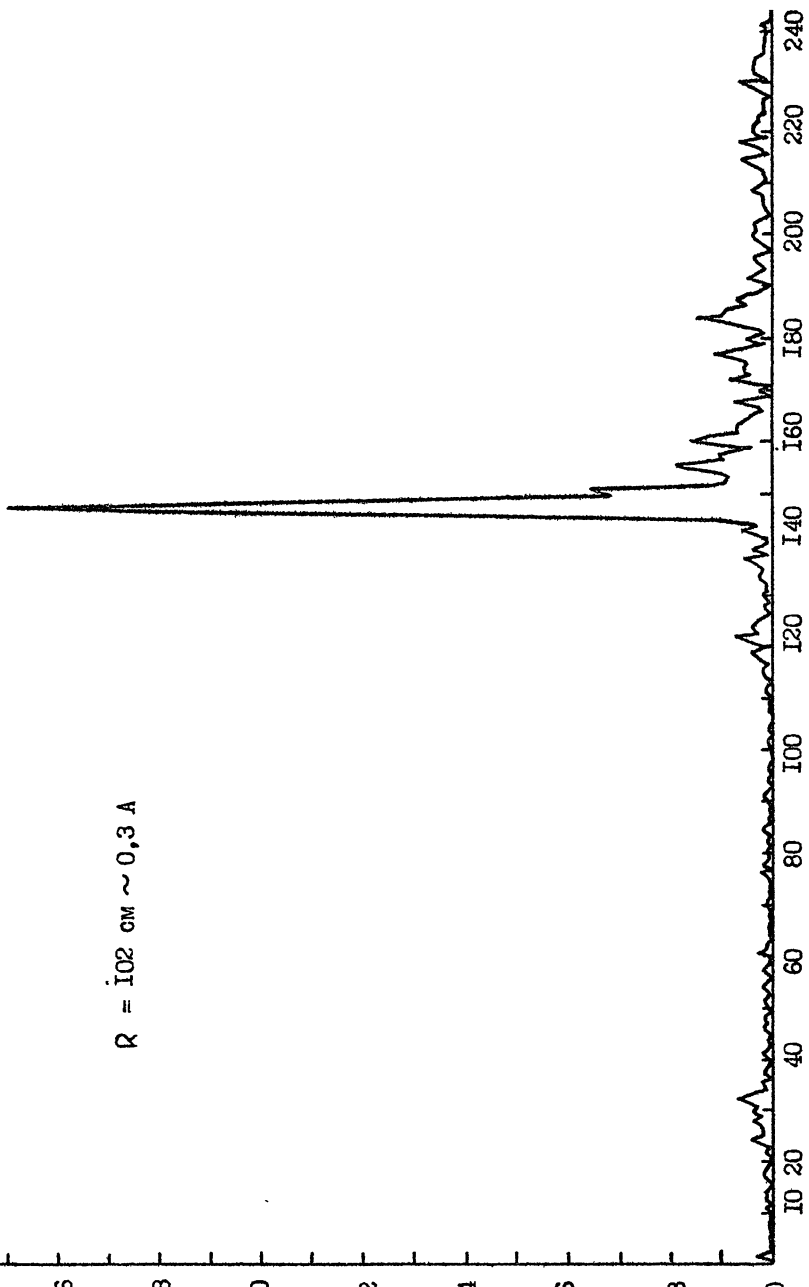
16

8

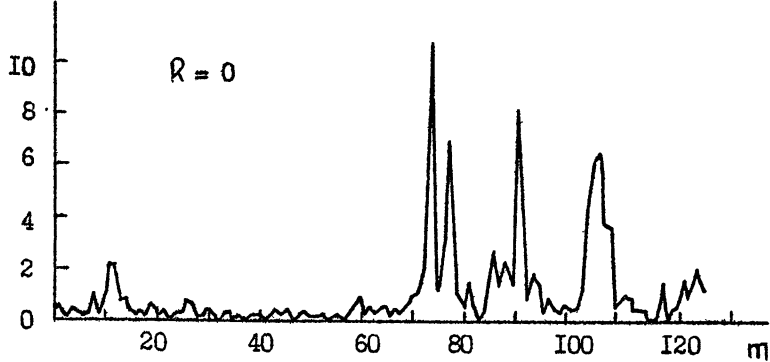
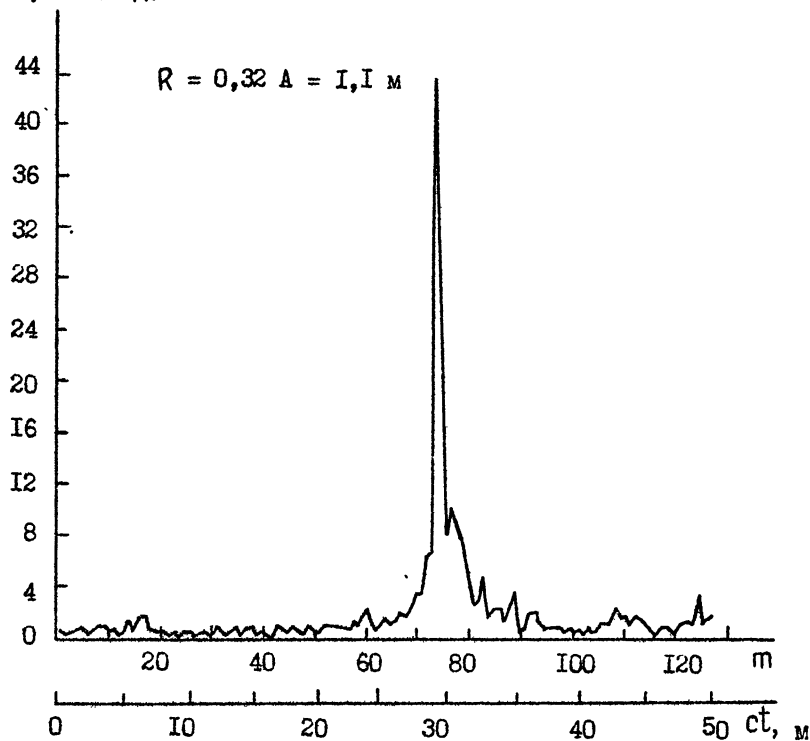
0

R = 102 cm ~ 0,3 A

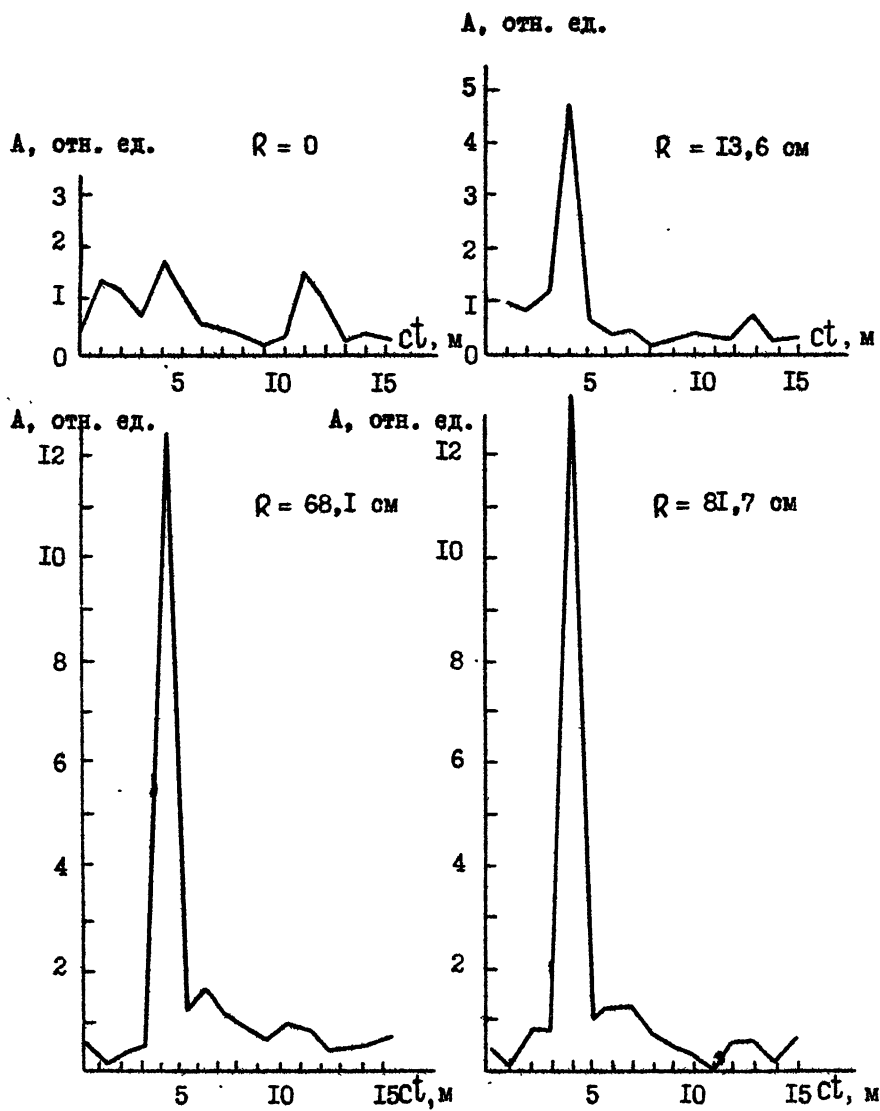
Р и о. 12



A, отн. ед.



Р и с. 13

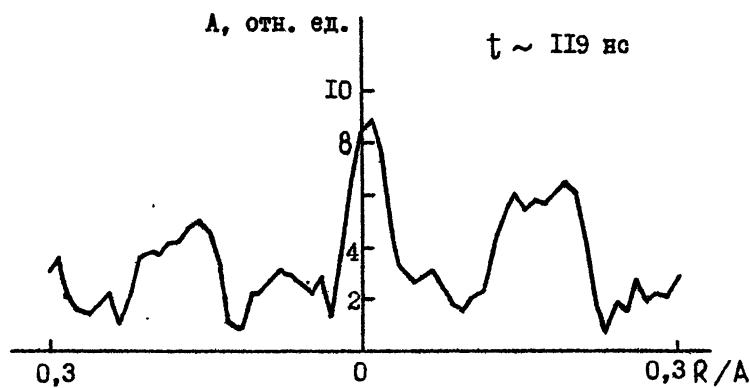
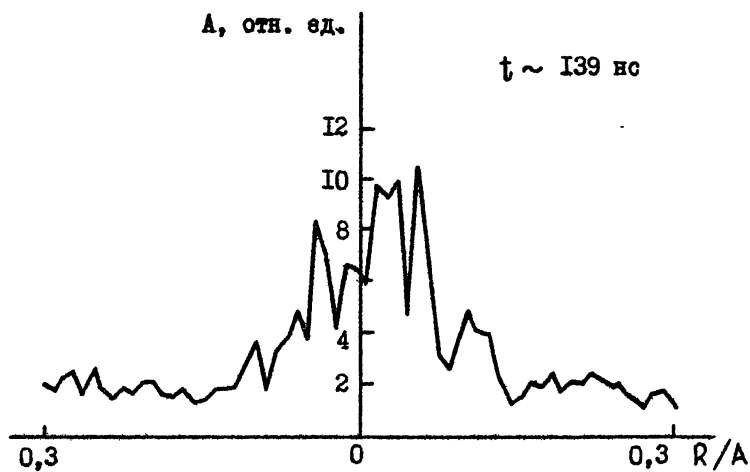


Р и с. I4

Для определения особенностей распределения рассеянных сигналов по поверхности сканирования исследовалась зависимость амплитуд основных помеховых составляющих с задержками порядка 139 и 119 нс (см. рис. 10-13) от координаты  $R$  точки измерения. Результат показан на рис. 15. Для сравнения на рис. 16 приведена пространственная зависимость амплитуд основной компоненты полезного сигнала с задержкой  $\sim 96,4$  нс. По зависимости, показанной на верхнем графике рис. 15, можно сделать вывод, что переотражения между стрелой сканирующего устройства и зеркалом ИА наиболее существенны при расположении стрелы в области размером порядка 0,1D в центре прожекторного луча. Приведенное на нижнем графике пространственное распределение сигнала практически отслеживает расположение металлических элементов крепления облучателя вдоль радиуса апертуры.

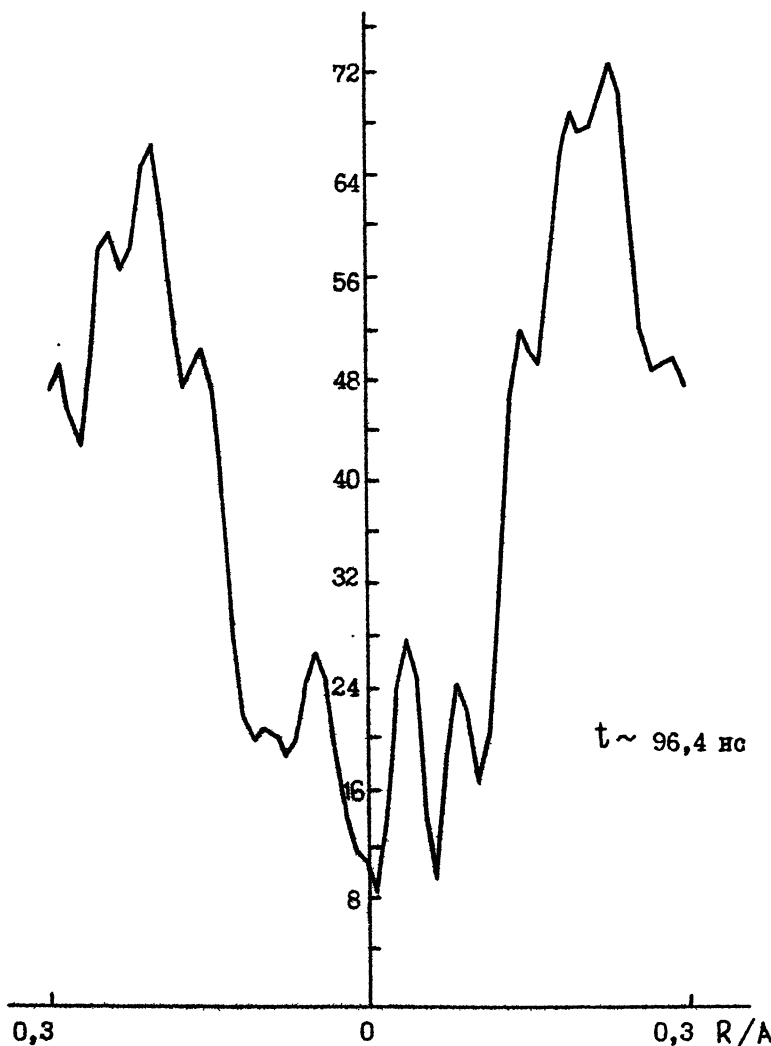
На рабочей частоте стенда  $f_0 = 51\text{Гц}$  было восстановлено распределение по поверхности сканирования свободного от рассеянных составляющих поля ИА и рассеянного поля. На рис. 17 показана полученная зависимость рассеянного сигнала от координаты  $R$  положения зонда. Крестиками отмечены значения, полученные без укрытия стрелы РПМ. На рис. 18 и 19 соответственно представлены полученные зависимости измеренного на рабочей частоте стенда сигнала и полученного путем обработки результатов многочастотных измерений. Результаты показывают, что с применением РПМ у рассеянного сигнала примерно вдвое снижается уровень и существенно изменяется зависимость фазы от координаты. Кроме того, можно отметить, что распределение "чистого" поля ИА с РПМ на стреле и без него остается неизменным в пределах точности измерений, в то время как зависимость измеренного поля, особенно амплитудная, реагирует на присутствие поглощающего материала.

По полученным распределениям было оценено влияние рассеянного поля на точность измерения на данном стенде характеристик ИА традиционным методом. Для этого по представленным на рис. 17-19 зависимостям были вычислены ДН в предположении, что все двумерные распределения соответствующих сигналов являются осесимметричными. Результаты представлены на рис. 20, где изображены ДН ИА, полученные многочастотным и традиционным радиоголографическим способами, а также ДН рассеянного поля. На левой половине рисунка показаны результаты, полученные без применения РПМ, на



Р и с. 15

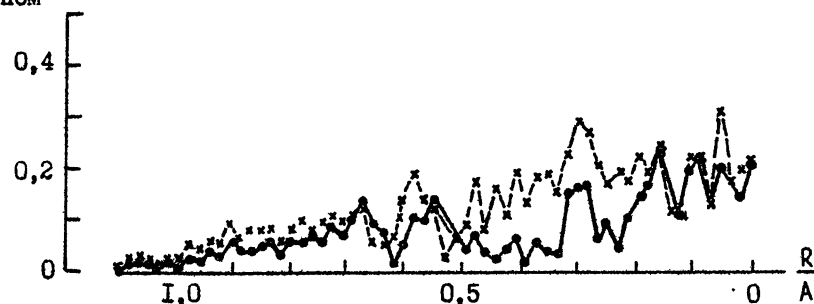
A, отн. ед.



Р и с. I6

$A_{\text{ПОМ}}$ , отн. ед.

15.09.86 г.



... - стрела с поглотителем

\* \* \* - стрела без поглотителя

$\Phi_{\text{ПОМ}}$ , рад

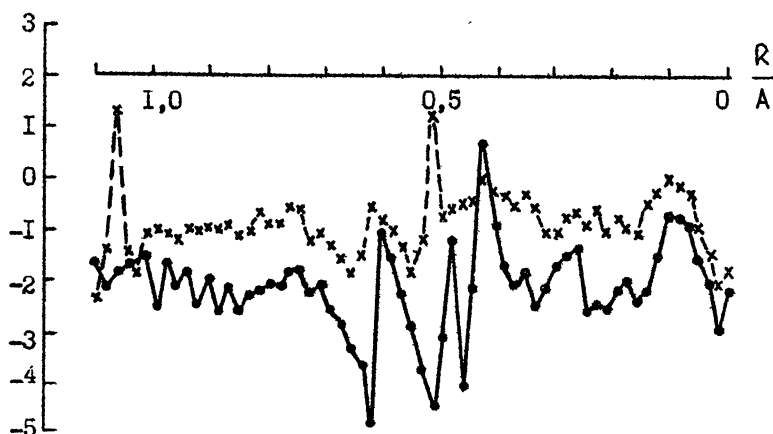
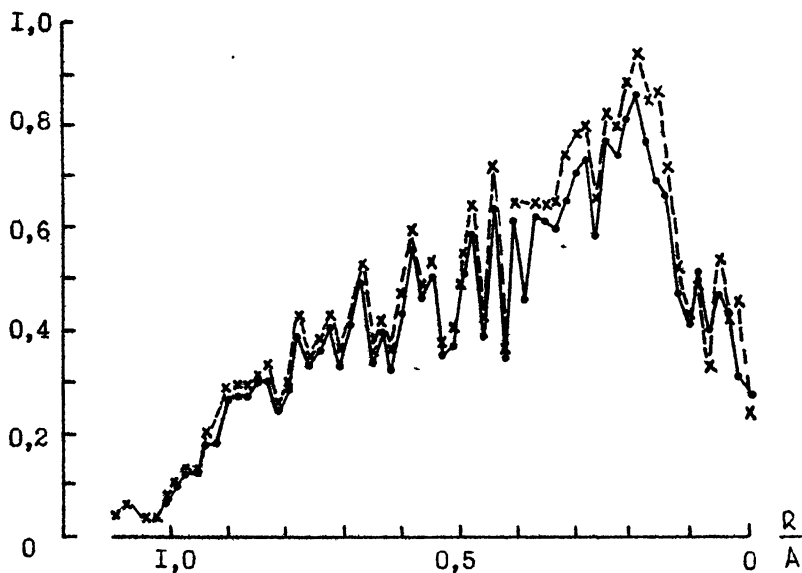
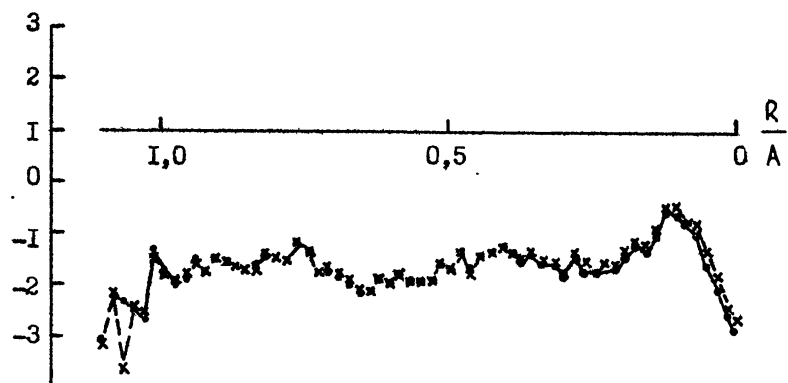


Рис. I7

$A_{\text{изм}}$ , отн. ед.



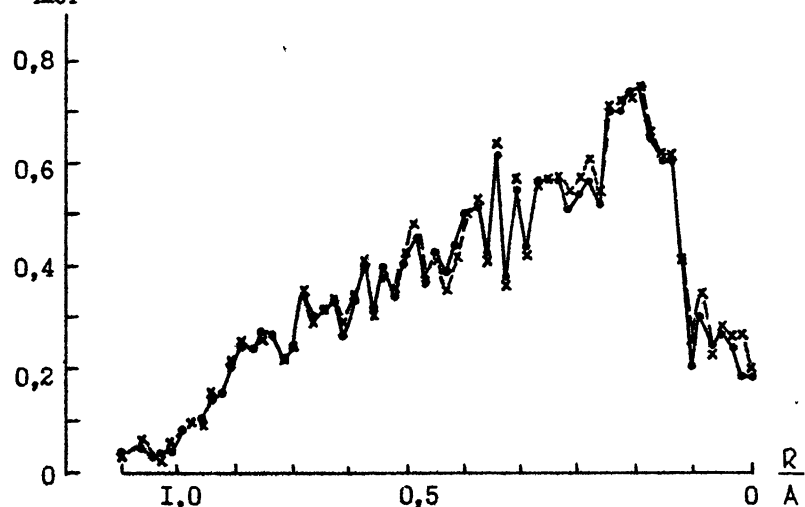
$\Phi_{\text{изм}}$ , рад



... - стрела с поглотителем  
× × × - стрела без поглотителя

Рис. I8

$A_{\text{чист}}$ , отн. ед.



••• - стрела с поглотителем

××× - стрела без поглотителя

$\Phi_{\text{чист}}$ , рад

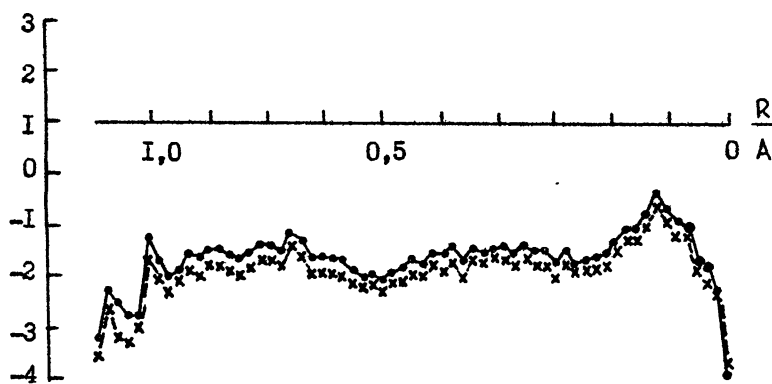


Рис. I9

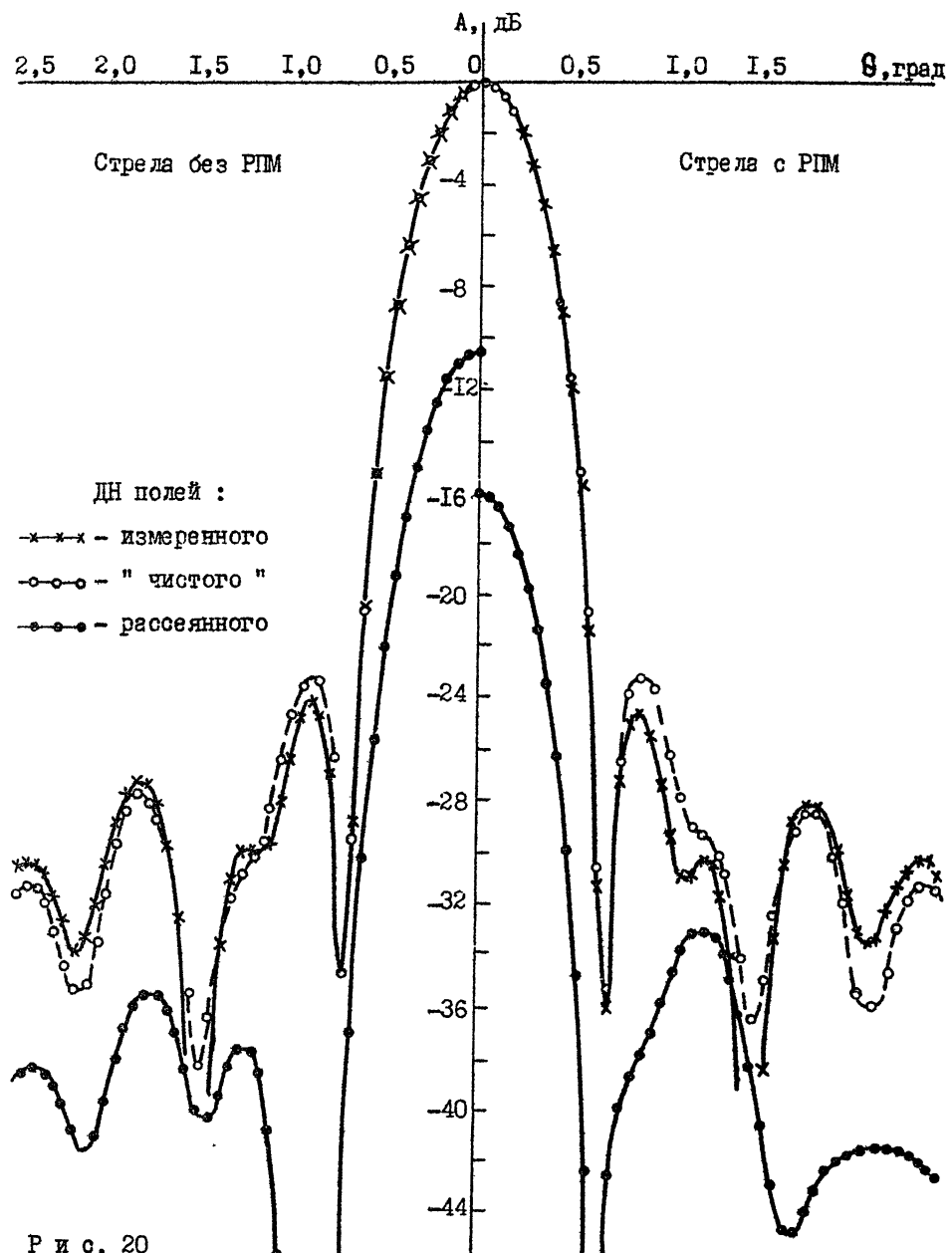


Рис. 20

правой - с РПМ на стреле.

Во-первых, необходимо отметить, что рассеянное поле обладает направленностью и производит незначительные искажения измеряемой ДН при совпадении направления ее главного максимума с максимумом ДН помехи. По-видимому, искажения будут более значительными при отклонении максимума ДН ИА от оси. Во-вторых, очевидно, что применение РПМ, с одной стороны, снижает средний уровень рассеянного сигнала, а с другой, - уменьшает его направленность. Это приводит к отличию в боковых лепестках "измеренной" и "истинной" ДН ИА в направлениях, соответствующих максимумам ДН рассеянного поля. В то время, как "истинные" ДН с РПМ и без него практически полностью совпадают до уровня порядка -35 дБ, "измеренные" ДН отличаются примерно на 3 дБ на уровне -28 дБ в тех направлениях, где имеются максимумы ДН помехи. В целом, можно отметить, что в данном случае ДН, измеренная обычным способом, без РПМ оказалась более точной, чем с поглотителем.

Приведенные результаты подтверждают эффективность использования многочастотного способа при измерении пространственной зависимости поля в ближней зоне антенны для экспериментального определения источников и уровней рассеянных в измерительной установке сигналов, а также для повышения точности определения характеристик антенн в присутствии помех, вызванных рассеянием.

Автор благодарен В.И.Турчину за полезные советы и обсуждение результатов.

#### ЛИТЕРАТУРА

1. Захарьев Л.Н., Леманский А.А., Турчин В.И., Цейтлин Н.М., Щеглов К.С. Методы измерения характеристик антенн СВЧ / Под ред. Н.М. Цейтлина - М.: Радио и связь. 1965. 368 с.
2. Воскресенский Д.И., Воронин Е.Н., Комаров В.М., Нечаев Е.Е. Измерение внешних характеристик антенн с учетом искажающих факторов.(обзор). - Изв. вузов. Радиозелектроника, 1984, Т.27, № 2, с. 4-19.
3. Crawford M.L. Calibration of broadbeam antennas using planar near-field measurements. In: Conference of precision electromagnetic measurements. Boulder, Colorado, 1976, p.21-22.

4. Grimm K.R. Antenna analysis by near-field measurements.-  
Microwave J. , 1976, v.19, N4, p.43-52.
5. А.С. II66019 СССР. Способ измерения параметров антенн./Е.Н.Воронин. - Опубл. в Б.И., 1985, № 25.
6. Fitzsimons T.K. Eliminating the effect of site reflections on  
radiation patterns of microwave aerials.- Electron Letters,  
1968, v.4, N17, p.348-349.
7. Chalupka H., Galka M., Schleudermann A. Determination of antenna  
radiation pattern from frequency-domain measurements in  
reflecting environment.-Electron.Letters., 1979, v.15, N17, p.512.
8. Пономарев Д.М. , Введенский Ю.В. , Горячев А.В. Перспективы  
антенных измерений во временной области. - Тезисы докладов :  
III Всесоюзная конференция. "Метрологическое обеспечение антен-  
ных измерений". Ереван, 1984, с. I22-I24.
9. Будай А.Г., Вилькоцкий М.А., Гашка С.В., Гуринович А.Ф., Гу-  
ринович В.Ф. Применение время - частотного преобразования при  
восстановлении характеристик направленности широкополосных ан-  
тенн голографическими методами. В сб.: "Методы и устройства ра-  
дио и акустической голографии./ Под ред. Л.Д.Бахараха и А.П.Ку-  
рочкина. - Л.: Наука, 1983, I28 с.
10. Белов Ю.И., Бахарев Н.В. и др. Стенд для амплифазометрических  
и радиоастрономических измерений параметров зеркальных антенн.  
- Тезисы докладов: III Всесоюзная конференция "Метрологическое  
обеспечение антенных измерений". Ереван, 1984, с.191-192.
- II. А.С. II23383 СССР . Сканирующее устройство измерителя волново-  
го поля / Н.В. Бахарев, Ю.И.Белов и др.

Дата поступления статьи  
16 декабря 1986 г.

Андрей Владимирович Калинин  
МНОГОЧАСТОТНЫЙ СПОСОБ ОПРЕДЕЛЕНИЯ ПОЛЯ  
В БЛИЖНЕЙ ЗОНЕ АНТЕННЫ

---

Подписанов печать 25 12.86 г. МЦ 01280. Объем 2,25 усл. печ. л.  
Бумага множительная. Печать офсетная. Формат 60 x 84 1 / 16.  
Тираж 120. Заказ 4517. Бесплатно.

---